



calculatoratoz.com



unitsconverters.com

Open geleiderfout Formules

Rekenmachines!

Voorbeelden!

Conversies!

Bladwijzer calculatoratoz.com, unitsconverters.com

Breedste dekking van rekenmachines en groeiend - **30.000_ rekenmachines!**

Bereken met een andere eenheid voor elke variabele - **In ingebouwde eenheidsconversie!**

Grootste verzameling maten en eenheden - **250+ metingen!**

DEEL dit document gerust met je vrienden!

[Laat hier uw feedback achter...](#)



Lijst van 46 Open geleiderfout Formules

Open geleiderfout

Eén dirigent geopend

1) A-fase EMF met behulp van positieve sequentiespanning (één geleider open)

$$\text{fx } E_{a(\text{oco})} = V_{1(\text{oco})} + I_{1(\text{oco})} \cdot Z_{1(\text{oco})}$$

[Rekenmachine openen !\[\]\(de95854c7ee024cfadc48187bbb781b2_img.jpg\)](#)

$$\text{ex } 29.38794\text{V} = 13.5\text{V} + 2.001\text{A} \cdot 7.94\Omega$$

2) A-fase EMF met nulsequentie-impedantie (één geleider open)

$$\text{fx } E_{a(\text{oco})} = I_{1(\text{oco})} \cdot \left(Z_{1(\text{oco})} + \left(\frac{Z_{0(\text{oco})} \cdot Z_{2(\text{oco})}}{Z_{0(\text{oco})} + Z_{2(\text{oco})}} \right) \right)$$

[Rekenmachine openen !\[\]\(6a9b39b98eb945faa14c645ec99e4eaa_img.jpg\)](#)

$$\text{ex } 29.46126\text{V} = 2.001\text{A} \cdot \left(7.94\Omega + \left(\frac{8\Omega \cdot 44.6\Omega}{8\Omega + 44.6\Omega} \right) \right)$$

3) B-fasestroom (één geleider open)

$$\text{fx } I_{b(\text{oco})} = 3 \cdot I_{0(\text{oco})} - I_{c(\text{oco})}$$

[Rekenmachine openen !\[\]\(f1c5da15572e3e09d343161be98f508d_img.jpg\)](#)

$$\text{ex } 2.7\text{A} = 3 \cdot 2.20\text{A} - 3.9\text{A}$$

4) C-fasestroom (één geleider open)

$$\text{fx } I_{c(\text{oco})} = 3 \cdot I_{0(\text{oco})} - I_{b(\text{oco})}$$

[Rekenmachine openen !\[\]\(166772600a13ad0a433053f90fe45649_img.jpg\)](#)

$$\text{ex } 3.9\text{A} = 3 \cdot 2.20\text{A} - 2.7\text{A}$$



5) Potentieel verschil tussen A-fase bij gebruik van nulsequentie Potentieel verschil (één geleider open)

$$\text{fx } V_{aa'(\text{oco})} = \frac{V_{aa'0(\text{oco})}}{3}$$

[Rekenmachine openen !\[\]\(cbe80b694ebd74fcfe136a095b608235_img.jpg\)](#)

$$\text{ex } 1.223333\text{V} = \frac{3.67\text{V}}{3}$$

6) Potentieel verschil tussen A-fase en neutraal (één geleider open)

$$\text{fx } V_{a(\text{oco})} = V_{0(\text{oco})} + V_{1(\text{oco})} + V_{2(\text{oco})}$$

[Rekenmachine openen !\[\]\(3e2231b1ad3ca8da8658228c00dd08e0_img.jpg\)](#)

$$\text{ex } 11.956\text{V} = -17.6\text{V} + 13.5\text{V} + 16.056\text{V}$$

Negatieve reeks

7) Negatieve sequentiepotentiaalverschil bij gebruik van A-fasestroom (één geleider open)

fx

[Rekenmachine openen !\[\]\(b792654f2cef9719eabeb6c5be00811e_img.jpg\)](#)

$$V_{aa'2(\text{oco})} = I_{a(\text{oco})} \cdot \left(\frac{Z_{0(\text{oco})} \cdot Z_{1(\text{oco})} \cdot Z_{2(\text{oco})}}{(Z_{0(\text{oco})} \cdot Z_{1(\text{oco})}) + (Z_{1(\text{oco})} \cdot Z_{2(\text{oco})}) + (Z_{2(\text{oco})} \cdot Z_{0(\text{oco})})} \right)$$

$$\text{ex } 7.791749\text{V} = 2.13\text{A} \cdot \left(\frac{8\Omega \cdot 7.94\Omega \cdot 44.6\Omega}{(8\Omega \cdot 7.94\Omega) + (7.94\Omega \cdot 44.6\Omega) + (44.6\Omega \cdot 8\Omega)} \right)$$

8) Negatieve sequentiespanning met behulp van negatieve sequentie-impedantie (één geleider open)

$$\text{fx } V_{2(\text{oco})} = -Z_{2(\text{oco})} \cdot I_{2(\text{oco})}$$

[Rekenmachine openen !\[\]\(28f72b996fc97883dfd9d4e8b1b16b4e_img.jpg\)](#)

$$\text{ex } 16.056\text{V} = -44.6\Omega \cdot -0.36\text{A}$$

9) Negatieve sequentiestroom met behulp van negatieve sequentie-impedantie (één geleider open)

$$\text{fx } I_{2(\text{oco})} = -\frac{V_{2(\text{oco})}}{Z_{2(\text{oco})}}$$

[Rekenmachine openen !\[\]\(1ed10657a19f9137278430c48fd18626_img.jpg\)](#)

$$\text{ex } -0.36\text{A} = -\frac{16.056\text{V}}{44.6\Omega}$$



Positieve reeks

10) Positief sequentiepotentiaalverschil met gebruik van A-fase potentiaalverschil (één geleider open)

$$\text{fx } V_{aa'1(oco)} = \frac{V_{aa'}(oco)}{3}$$

[Rekenmachine openen !\[\]\(23d9fc146e83b5c3013cfa32c784f8d5_img.jpg\)](#)

$$\text{ex } 0.406667\text{V} = \frac{1.22\text{V}}{3}$$

11) Positieve sequentie-impedantie met behulp van positieve sequentiespanning (één geleider open)

$$\text{fx } Z_{1(oco)} = \frac{E_{a(oco)} - V_{1(oco)}}{I_{1(oco)}}$$

[Rekenmachine openen !\[\]\(aa53ad6fea213b8b2226d3077e30533a_img.jpg\)](#)

$$\text{ex } 7.936032\Omega = \frac{29.38\text{V} - 13.5\text{V}}{2.001\text{A}}$$

12) Positieve sequentiespanning met behulp van positieve sequentie-impedantie (één geleider open)

$$\text{fx } V_{1(oco)} = E_{a(oco)} - I_{1(oco)} \cdot Z_{1(oco)}$$

[Rekenmachine openen !\[\]\(626ce8ac21792b9405bfddfea8e0c96a_img.jpg\)](#)

$$\text{ex } 13.49206\text{V} = 29.38\text{V} - 2.001\text{A} \cdot 7.94\Omega$$


13) Positieve sequentiestroom met behulp van positieve sequentiespanning (één geleider open)

$$\text{fx } I_{1(oco)} = \frac{E_{a(oco)} - V_{1(oco)}}{Z_{1(oco)}}$$

[Rekenmachine openen !\[\]\(c1168d6a8b365d11e842ece304635fa7_img.jpg\)](#)

$$\text{ex } 2\text{A} = \frac{29.38\text{V} - 13.5\text{V}}{7.94\Omega}$$




14) Positieve sequentiestroom met nulsequentie-impedantie (één geleider open) 

$$\text{fx } I_{1(\text{oco})} = \frac{E_{a(\text{oco})}}{Z_{1(\text{oco})} + \left(\frac{Z_{0(\text{oco})} \cdot Z_{2(\text{oco})}}{Z_{0(\text{oco})} + Z_{2(\text{oco})}} \right)}$$

Rekenmachine openen 


$$\text{ex } 1.995481\text{A} = \frac{29.38\text{V}}{7.94\Omega + \left(\frac{8\Omega \cdot 44.6\Omega}{8\Omega + 44.6\Omega} \right)}$$

Nulvolgorde 15) Nulsequentiespanning met nulsequentie-impedantie (één geleider open) 

$$\text{fx } V_{0(\text{oco})} = -Z_{0(\text{oco})} \cdot I_{0(\text{oco})}$$

Rekenmachine openen 


$$\text{ex } -17.6\text{V} = -8\Omega \cdot 2.20\text{A}$$

16) Nulsequentiestroom (één geleider open) 

$$\text{fx } I_{0(\text{oco})} = \frac{I_{b(\text{oco})} + I_{c(\text{oco})}}{3}$$

Rekenmachine openen 

$$\text{ex } 2.2\text{A} = \frac{2.7\text{A} + 3.9\text{A}}{3}$$

17) Nulsequentiestroom met nulsequentiespanning (één geleider open) 

$$\text{fx } I_{0(\text{oco})} = (-1) \cdot \frac{V_{0(\text{oco})}}{Z_{0(\text{oco})}}$$

Rekenmachine openen 

$$\text{ex } 2.2\text{A} = (-1) \cdot \frac{-17.6\text{V}}{8\Omega}$$

18) Zero Sequence-impedantie met behulp van Zero Sequence-spanning (één geleider open) 

$$\text{fx } Z_{0(\text{oco})} = (-1) \cdot \frac{V_{0(\text{oco})}}{I_{0(\text{oco})}}$$

Rekenmachine openen 

$$\text{ex } 8\Omega = (-1) \cdot \frac{-17.6\text{V}}{2.20\text{A}}$$



Drie dirigent geopend

19) Potentieel verschil tussen A-fase (drie geleiders open)

$$\text{fx } V_{aa'}'_{(thco)} = 3 \cdot V_{aa'}'_{0(thco)} - V_{bb'}'_{(thco)} - V_{cc'}'_{(thco)}$$

[Rekenmachine openen !\[\]\(950a62bbddad88d64435fd35607dfc42_img.jpg\)](#)

$$\text{ex } 5.19V = 3 \cdot 3.68V - 2.96V - 2.89V$$

20) Potentieel verschil tussen B-fase (drie geleiders open)

$$\text{fx } V_{bb'}'_{(thco)} = (3 \cdot V_{aa'}'_{0(thco)}) - V_{aa'}'_{(thco)} - V_{cc'}'_{(thco)}$$

[Rekenmachine openen !\[\]\(73002692dd5e7a64e60946be3158e719_img.jpg\)](#)

$$\text{ex } 2.96V = (3 \cdot 3.68V) - 5.19V - 2.89V$$

21) Potentieel verschil tussen C-fase (drie geleiders open)

$$\text{fx } V_{cc'}'_{(thco)} = (3 \cdot V_{aa'}'_{0(thco)}) - V_{aa'}'_{(thco)} - V_{bb'}'_{(thco)}$$

[Rekenmachine openen !\[\]\(104fbf564e2e5a8fbd84f31656d114c7_img.jpg\)](#)

$$\text{ex } 2.89V = (3 \cdot 3.68V) - 5.19V - 2.96V$$

22) Potentiële verschillen in nulsequentie (drie geleiders open)

$$\text{fx } V_{aa'}'_{0(thco)} = \frac{V_{aa'}'_{(thco)} + V_{bb'}'_{(thco)} + V_{cc'}'_{(thco)}}{3}$$

[Rekenmachine openen !\[\]\(21226b58c700e5231ab98d27101bac58_img.jpg\)](#)

$$\text{ex } 3.68V = \frac{5.19V + 2.96V + 2.89V}{3}$$

Twee dirigent geopend

23) A-fase EMF met behulp van positieve volgordestroom (twee geleiders open)

$$\text{fx } E_{a(tc0)} = I_{1(tc0)} \cdot (Z_{1(tc0)} + Z_{2(tc0)} + Z_{0(tc0)})$$

[Rekenmachine openen !\[\]\(13163d77073735089069a7603de98433_img.jpg\)](#)

$$\text{ex } 121.4241V = 2.01A \cdot (7.95\Omega + 44.5\Omega + 7.96\Omega)$$


24) A-fase EMF met positieve sequentiespanning (twee geleiders open)

$$\text{fx } E_{a(tc0)} = V_{1(tc0)} + I_{1(tc0)} \cdot Z_{1(tc0)}$$

[Rekenmachine openen !\[\]\(987606e59d5984b3118f78a58e78d0fb_img.jpg\)](#)

$$\text{ex } 120.9795V = 105V + 2.01A \cdot 7.95\Omega$$



25) A-fasespanning met behulp van sequentiespanningen (twee geleiders open) 

$$\text{fx } V_{a(tco)} = V_{1(tco)} + V_{2(tco)} + V_{0(tco)}$$

Rekenmachine openen 

$$\text{ex } 59.02\text{V} = 105\text{V} + -28.48\text{V} + -17.5\text{V}$$

26) A-fasestroom (twee geleiders open) 

$$\text{fx } I_{a(tco)} = I_{1(tco)} + I_{2(tco)} + I_{0(tco)}$$

Rekenmachine openen 

$$\text{ex } 4.84\text{A} = 2.01\text{A} + 0.64\text{A} + 2.19\text{A}$$

27) Potentieel verschil tussen B-fase (twee geleiders open) 

$$\text{fx } V_{bb'(tco)} = 3 \cdot V_{aa'_{0(tco)}} - V_{cc'_{(tco)}}$$

Rekenmachine openen 


$$\text{ex } 8.1\text{V} = 3 \cdot 3.66\text{V} - 2.88\text{V}$$

28) Potentieel verschil tussen C-fase (twee geleiders open) 

$$\text{fx } V_{cc'_{(tco)}} = (3 \cdot V_{aa'_{0(tco)}}) - V_{bb'_{(tco)}}$$

Rekenmachine openen 


$$\text{ex } 2.88\text{V} = (3 \cdot 3.66\text{V}) - 8.1\text{V}$$

Negatieve reeks 29) Negatief sequentiepotentieel verschil (twee geleiders open) 

$$\text{fx } V_{aa'_{2(tco)}} = ((-1) \cdot V_{aa'_{1(tco)}} - V_{aa'_{0(tco)}})$$

Rekenmachine openen 

$$\text{ex } -7.11\text{V} = ((-1) \cdot 3.45\text{V} - 3.66\text{V})$$

30) Negatieve sequentiespanning met behulp van A-fasestroom (twee geleiders open) 

$$\text{fx } V_{2(tco)} = -I_{a(tco)} \cdot \left(\frac{Z_{1(tco)} \cdot Z_{2(tco)}}{Z_{0(tco)} + Z_{1(tco)} + Z_{2(tco)}} \right)$$

Rekenmachine openen 

$$\text{ex } -28.344165\text{V} = -4.84\text{A} \cdot \left(\frac{7.95\Omega \cdot 44.5\Omega}{7.96\Omega + 7.95\Omega + 44.5\Omega} \right)$$



31) Negatieve sequentiespanning met behulp van negatieve sequentiestroom (twee geleiders open)

$$\text{fx } V_{2(\text{tco})} = - (I_{2(\text{tco})} \cdot Z_{2(\text{tco})})$$

[Rekenmachine openen !\[\]\(6605b201d6f14d9b3bcb8ab5f274d107_img.jpg\)](#)

$$\text{ex } -28.48\text{V} = - (0.64\text{A} \cdot 44.5\Omega)$$

32) Negatieve sequentiestroom met behulp van A-fasestroom (twee geleiders open)

$$\text{fx } I_{2(\text{tco})} = I_{a(\text{tco})} \cdot \left(\frac{Z_{1(\text{tco})}}{Z_{0(\text{tco})} + Z_{1(\text{tco})} + Z_{2(\text{tco})}} \right)$$

[Rekenmachine openen !\[\]\(e8fb589d58dad1692debababa5e928b6_img.jpg\)](#)

$$\text{ex } 0.636948\text{A} = 4.84\text{A} \cdot \left(\frac{7.95\Omega}{7.96\Omega + 7.95\Omega + 44.5\Omega} \right)$$

33) Negatieve sequentiestroom met behulp van negatieve sequentiespanning (twee geleiders open)

$$\text{fx } I_{2(\text{tco})} = - \frac{V_{2(\text{tco})}}{Z_{2(\text{tco})}}$$

[Rekenmachine openen !\[\]\(4688aadfd656ded00cd6bdfae55089a9_img.jpg\)](#)

$$\text{ex } 0.64\text{A} = - \frac{-28.48\text{V}}{44.5\Omega}$$

Positieve reeks

34) Positief sequentiepotentiaal verschil (twee geleiders open)

$$\text{fx } V_{aa'1(\text{tco})} = ((-1) \cdot V_{aa'2(\text{tco})}) - V_{aa'0(\text{tco})}$$

[Rekenmachine openen !\[\]\(9db214d549b9aeebe72aa11d3a5c4b1a_img.jpg\)](#)

$$\text{ex } 3.45\text{V} = ((-1) \cdot -7.11\text{V}) - 3.66\text{V}$$

35) Positieve sequentie-impedantie met behulp van A-fase EMF (twee geleiders open)

$$\text{fx } Z_{1(\text{tco})} = \left(\frac{E_{a(\text{tco})}}{I_{1(\text{tco})}} \right) - Z_{0(\text{tco})} - Z_{2(\text{tco})}$$

[Rekenmachine openen !\[\]\(a05a1b59a958625e01d770867ed2a42e_img.jpg\)](#)

$$\text{ex } 7.92806\Omega = \left(\frac{121.38\text{V}}{2.01\text{A}} \right) - 7.96\Omega - 44.5\Omega$$



36) Positieve sequentie-impedantie met behulp van positieve sequentiespanning (twee geleiders open)

$$\text{fx } Z_{1(\text{tco})} = \frac{E_{a(\text{tco})} - V_{1(\text{tco})}}{I_{1(\text{tco})}}$$

[Rekenmachine openen !\[\]\(c3d993ca47bfe2a953c700506ce31fa0_img.jpg\)](#)

$$\text{ex } 8.149254\Omega = \frac{121.38\text{V} - 105\text{V}}{2.01\text{A}}$$

37) Positieve volgorde spanning met behulp van positieve volgordestroom (twee geleiders open)

$$\text{fx } V_{1(\text{tco})} = E_{a(\text{tco})} - I_{1(\text{tco})} \cdot Z_{1(\text{tco})}$$

[Rekenmachine openen !\[\]\(17413706fd4997a1a4bdf85c6864eee1_img.jpg\)](#)

$$\text{ex } 105.4005\text{V} = 121.38\text{V} - 2.01\text{A} \cdot 7.95\Omega$$

38) Positieve volgordestroom (twee geleiders open)

$$\text{fx } I_{1(\text{tco})} = \frac{I_{a(\text{tco})}}{3}$$

[Rekenmachine openen !\[\]\(4b7a79268f6ba26c1471d4232fffa85a_img.jpg\)](#)

$$\text{ex } 1.613333\text{A} = \frac{4.84\text{A}}{3}$$

39) Positieve volgordestroom met behulp van A-fase EMF (twee geleiders open)

$$\text{fx } I_{1(\text{tco})} = \frac{E_{a(\text{tco})}}{Z_{0(\text{tco})} + Z_{1(\text{tco})} + Z_{2(\text{tco})}}$$

[Rekenmachine openen !\[\]\(3342c215b2a8b663596a81468d5dc314_img.jpg\)](#)

$$\text{ex } 2.00927\text{A} = \frac{121.38\text{V}}{7.96\Omega + 7.95\Omega + 44.5\Omega}$$

40) Positieve volgordestroom met behulp van positieve volgorde spanning (twee geleiders open)

$$\text{fx } I_{1(\text{tco})} = \frac{E_{a(\text{tco})} - V_{1(\text{tco})}}{Z_{1(\text{tco})}}$$

[Rekenmachine openen !\[\]\(5a351309c3b87e4420622c1f0e57efc0_img.jpg\)](#)

$$\text{ex } 2.060377\text{A} = \frac{121.38\text{V} - 105\text{V}}{7.95\Omega}$$



Nulvolgorde

41) Nulvolgorde Potentieel verschil met behulp van Potentieel verschil tussen B-fase (twee geleiders open)

$$\text{fx } V_{aa'0(tco)} = \frac{V_{bb'0(tco)} + V_{cc'0(tco)}}{3}$$

[Rekenmachine openen !\[\]\(339a16584d5da0f0a3ca4e9ec17bf6a1_img.jpg\)](#)

$$\text{ex } 3.66\text{V} = \frac{8.1\text{V} + 2.88\text{V}}{3}$$

42) Nulvolgordestroom met behulp van A-fasestroom (twee geleiders open)

$$\text{fx } I_{0(tco)} = I_{a(tco)} \cdot \left(\frac{Z_{1(tco)}}{Z_{0(tco)} + Z_{1(tco)} + Z_{2(tco)}} \right)$$

[Rekenmachine openen !\[\]\(6059a5aa8b4ca7bb793408023d6c6e42_img.jpg\)](#)

$$\text{ex } 0.636948\text{A} = 4.84\text{A} \cdot \left(\frac{7.95\Omega}{7.96\Omega + 7.95\Omega + 44.5\Omega} \right)$$

43) Potentiaalverschil nulsequentie (twee geleiders open)

$$\text{fx } V_{aa'0(tco)} = ((-1) \cdot V_{aa'1(tco)}) - (V_{aa'2(tco)})$$

[Rekenmachine openen !\[\]\(e3275251d0893157c3584e20c81dc3ba_img.jpg\)](#)

$$\text{ex } 3.66\text{V} = ((-1) \cdot 3.45\text{V}) - (-7.11\text{V})$$

44) Zero Sequence-impedantie met behulp van Zero Sequence-spanning (twee geleiders open)

$$\text{fx } Z_{0(tco)} = (-1) \cdot \frac{V_{0(tco)}}{I_{0(tco)}}$$

[Rekenmachine openen !\[\]\(eabd9f9ababee93effadc3b380fe65fd_img.jpg\)](#)

$$\text{ex } 7.990868\Omega = (-1) \cdot \frac{-17.5\text{V}}{2.19\text{A}}$$


45) Zero Sequence-spanning met behulp van Zero Sequence-stroom (twee geleiders open)

$$\text{fx } V_{0(tco)} = (-1) \cdot I_{0(tco)} \cdot Z_{0(tco)}$$

[Rekenmachine openen !\[\]\(a73c1962d20a39dd8fd6a060ae69693f_img.jpg\)](#)

$$\text{ex } -17.4324\text{V} = (-1) \cdot 2.19\text{A} \cdot 7.96\Omega$$



46) Zero Sequence-stroom met behulp van Zero Sequence-spanning (twee geleiders open) Rekenmachine openen 

$$\text{fx } I_{0(\text{tco})} = (-1) \cdot \frac{V_{0(\text{tco})}}{Z_{0(\text{tco})}}$$

$$\text{ex } 2.198492\text{A} = (-1) \cdot \frac{-17.5\text{V}}{7.96\Omega}$$



Variabelen gebruikt

- $E_{a(oco)}$ Een fase-EMF in OCO (Volt)
- $E_{a(tco)}$ Een fase-EMF in TCO (Volt)
- $I_{0(oco)}$ Nulreeksstroom in OCO (Ampère)
- $I_{0(tco)}$ Nulsequentiestroom in TCO (Ampère)
- $I_{1(oco)}$ Positieve sequentiestroom in OCO (Ampère)
- $I_{1(tco)}$ Positieve sequentiestroom in TCO (Ampère)
- $I_{2(oco)}$ Negatieve sequentiestroom in OCO (Ampère)
- $I_{2(tco)}$ Negatieve sequentiestroom in TCO (Ampère)
- $I_{a(oco)}$ A-fasestroom in OCO (Ampère)
- $I_{a(tco)}$ A-fasestroom in TCO (Ampère)
- $I_{b(oco)}$ B-fasestroom in OCO (Ampère)
- $I_{c(oco)}$ C-fasestroom in OCO (Ampère)
- $V_{0(oco)}$ Nulsequentiespanning in OCO (Volt)
- $V_{0(tco)}$ Nulsequentiespanning in TCO (Volt)
- $V_{1(oco)}$ Positieve sequentiespanning in OCO (Volt)
- $V_{1(tco)}$ Positieve sequentiespanning in TCO (Volt)
- $V_{2(oco)}$ Negatieve sequentiespanning in OCO (Volt)
- $V_{2(tco)}$ Negatieve sequentiespanning in TCO (Volt)
- $V_{a(oco)}$ Een fasespanning in OCO (Volt)
- $V_{a(tco)}$ Een fasespanning in TCO (Volt)
- $V_{aa'_{0(oco)}}$ Potentieel verschil tussen een fase in OCO (Volt)
- $V_{aa'_{0(thco)}}$ Potentieel verschil tussen een fase in THCO (Volt)
- $V_{aa'_{0(oco)}}$ Potentieel verschil in nulsequentie in OCO (Volt)
- $V_{aa'_{0(tco)}}$ Potentieel verschil in TCO zonder sequentie (Volt)
- $V_{aa'_{0(thco)}}$ Potentieel verschil in nulsequentie in THCO (Volt)
- $V_{aa'_{1(oco)}}$ Positief sequentiepotentieel verschil in OCO (Volt)
- $V_{aa'_{1(tco)}}$ Positief sequentiepotentieel verschil in TCO (Volt)



- $V_{aa'}_2(oco)$ Potentieel verschil in negatieve sequentie in OCO (Volt)
- $V_{aa'}_2(tco)$ Negatief sequentiepotentieel verschil in TCO (Volt)
- $V_{bb'}(tco)$ Potentieel verschil tussen B-fase in TCO (Volt)
- $V_{bb'}(thco)$ Potentieel verschil tussen B-fase in THCO (Volt)
- $V_{cc'}(tco)$ Potentieel verschil tussen C-fase in TCO (Volt)
- $V_{cc'}(thco)$ Potentieel verschil tussen C-fase in THCO (Volt)
- $Z_0(oco)$ Nulsequentie-impedantie in OCO (Ohm)
- $Z_0(tco)$ Nulsequentie-impedantie in TCO (Ohm)
- $Z_1(oco)$ Positieve sequentie-impedantie in OCO (Ohm)
- $Z_1(tco)$ Positieve sequentie-impedantie in TCO (Ohm)
- $Z_2(oco)$ Negatieve sequentie-impedantie in OCO (Ohm)
- $Z_2(tco)$ Negatieve sequentie-impedantie in TCO (Ohm)



Constanten, functies, gebruikte metingen

- **Meting: Elektrische stroom** in Ampère (A)
Elektrische stroom Eenheidsconversie 
- **Meting: Elektrische Weerstand** in Ohm (Ω)
Elektrische Weerstand Eenheidsconversie 
- **Meting: Elektrisch potentieel** in Volt (V)
Elektrisch potentieel Eenheidsconversie 



Controleer andere formulelijsten

- [Open geleiderfout Formules](#) 
- [Shuntfouten Formules](#) 
- [Symmetrische componenten Formules](#) 

DEEL dit document gerust met je vrienden!

PDF Beschikbaar in

[English](#) [Spanish](#) [French](#) [German](#) [Russian](#) [Italian](#) [Portuguese](#) [Polish](#) [Dutch](#)

12/17/2023 | 1:04:11 PM UTC

[Laat hier uw feedback achter...](#)

